

01;09

## Бифуркационные явления с аддитивным увеличением периода колебаний в системе с полутора степенями свободы

© Н.А. Максимов, С.В. Савельев

Институт радиотехники и электроники РАН, Москва

E-mail: savelyev@ms.ire.rssi.ru

Поступило в Редакцию 13 марта 2003 г.

Численно установлено, что система с инерционностью демонстрирует последовательность бифуркаций колебаний в соответствии с законом натурального ряда. Показано, что последовательность бифуркационных значений параметра инерционности подчиняется закону сходимости, определены его моменты.

Исследования систем с инерционностью широко представлены в научной литературе из-за демонстрируемой ими богатой динамики (например, [1–5]). Такие системы обладают регулярной и сложной динамикой, развитие автоколебательного процесса в которых зависит как от способа подключения инерционной цепи, так и от вида динамической характеристики нелинейного усилительного элемента. Так, система с 1.5 степенями свободы [1,2], представляющая модифицированный генератор с инерционностью, демонстрирует последовательность бифуркаций удвоения периода колебаний при переходе к хаосу. В работе [3] экспериментально исследована автоколебательная система, демонстрирующая возникновение хаоса в результате последовательного увеличения периода колебаний по закону натурального ряда. При численном моделировании такой сценарий колебаний не исследовался.

В работе численными методами исследуется система с инерционностью

$$\begin{aligned} \dot{X} &= Y + (m_1 - m_2)X - XZ, & X \leq q, \\ \dot{X} &= Y - m_2X - qZ, & X > q, \\ \dot{Y} &= -X, \\ \dot{Z} &= -gZ + gF(X)X^2, \end{aligned} \quad (1)$$

где  $F(X)$  — функция Хевисайда;  $m_1, m_2, q, g$  — параметры возбуждения, диссипации, ограничения и инерционности соответственно. От моди-

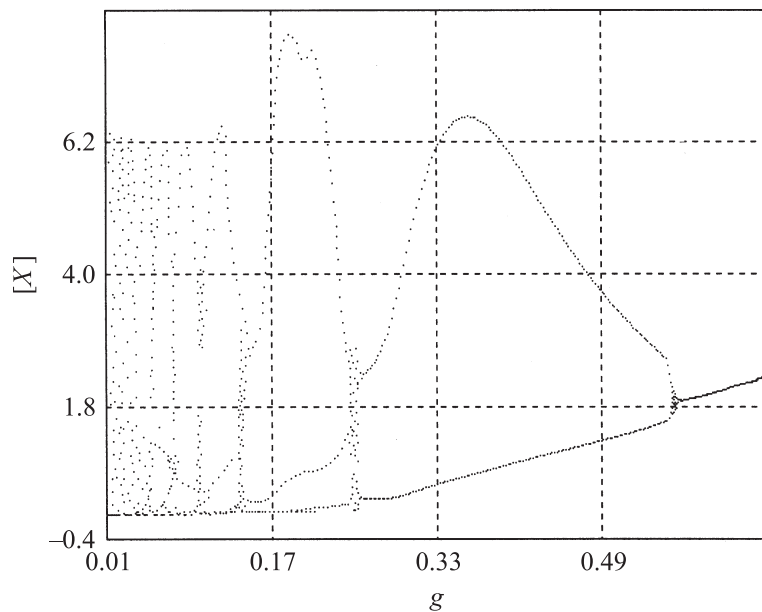


Рис. 1.

фицированного генератора с инерционностью систему (1) отличает форма динамической характеристики нелинейного усилителя, которая имеет линейный участок при  $X \leq q$  и участок с насыщением при  $X > q$ . Четвертое уравнение описывает инерционный однополупериодный инерционный преобразователь. Таким образом, динамика системы определяется двумя механизмами ограничения колебаний. Первый механизм — безынерционный и связан с нелинейностью характеристики усилительного элемента. Второй — инерционный, обусловлен влиянием напряжения с выхода инерционного преобразования на крутизну нелинейного усилителя.

Развитие колебательного процесса в системе (1) наглядно демонстрирует фрагмент бифуркационной диаграммы (рис. 1) изменения максимальных значений  $[X]$  колебательного процесса  $X(t)$  при адиабатическом изменении  $g$  в случае  $m_1 = 1.6$ ,  $m_2 = 0.1$ ,  $q = 0.05$ . Малое изменение значений  $[X]$  на бифуркационной диаграмме соответствует

регулярной динамике системы, случайный разброс точек — хаотической динамике. С изменением параметра инерционности система претерпевает ряд бифуркационных процессов. В интервале  $g \in [0.57; 0.65]$  динамика системы характеризуется устойчивым предельным циклом периода  $T_0$ . Интервал  $g \in [0.56; 0.57]$  соответствует хаотическим колебаниям. Точка  $g = 0.56$  является бифуркационной точкой. Динамика системы претерпевает удвоение периода колебаний с предельным циклом периода  $2T_0$ , имеющим место при  $g \in [0.26; 0.56]$ . По достижении значения  $g = 0.24$  система переходит к движению по устойчивому циклу с периодом  $3T_0$ . Зоны двухтактного и трехтактного цикла разделены зоной хаотических колебаний при  $g \in [0.24; 0.26]$ . Дальнейшее уменьшение параметра инерционности приводит к изменению состояний системы в виде устойчивых предельных циклов, периоды колебаний которых последовательно увеличиваются на единицу. Зоны устойчивых состояний системы с периодами  $nT_0$  и  $(n+1)T_0$  разделены зонами хаотических колебаний. При каждой последующей бифуркации расстояния между критическими значениями изменяемого параметра уменьшаются, зоны хаотических колебаний располагаются плотнее.

Бифуркационный сценарий колебаний с аддитивным увеличением периода колебаний на единицу позволяет рассчитывать на существование сходимости последовательности бифуркационных значений параметра инерционности  $g_n$ . Это означает, что для последовательности  $g_n$  имеет место закон сходимости

$$g_k - g_n \sim n^\gamma, \quad (2)$$

где  $g_k$  и  $g_n$  — бифуркационные значения параметра  $g$ ,  $\gamma$  — константа,  $n = 1, 2, \dots$ . Соотношения вида (2) установлены для последовательности двумерных торов (например, [4,5]). Поэтому интересен вопрос о существовании закона сходимости для последовательности предельных циклов в системе с полутора степенями.

Для определения масштабно-инвариантных свойств выявлялось  $n$  членов последовательности устойчивых циклов системы (1) с фиксацией бифуркационных значений параметров  $g_n$ . Численные расчеты показывают, что закон сходимости выполняется с хорошей точностью, о чем говорит графическая проверка масштабно-инвариантных свойств для  $g_n$  (рис. 2, кривые 1, 2 и 3, построенные для различных значений  $m_1$ : 1.8, 1.6, 1.4 соответственно). Полученные методом наименьших

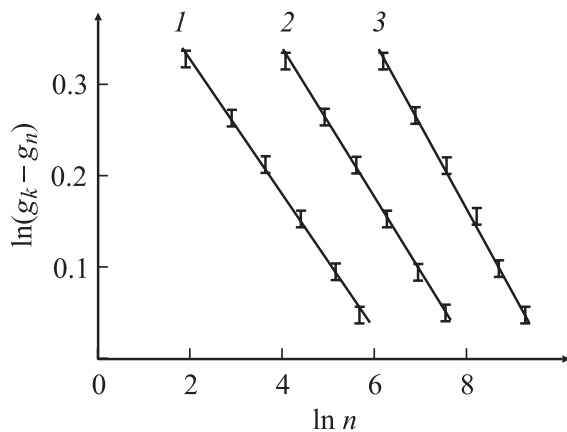


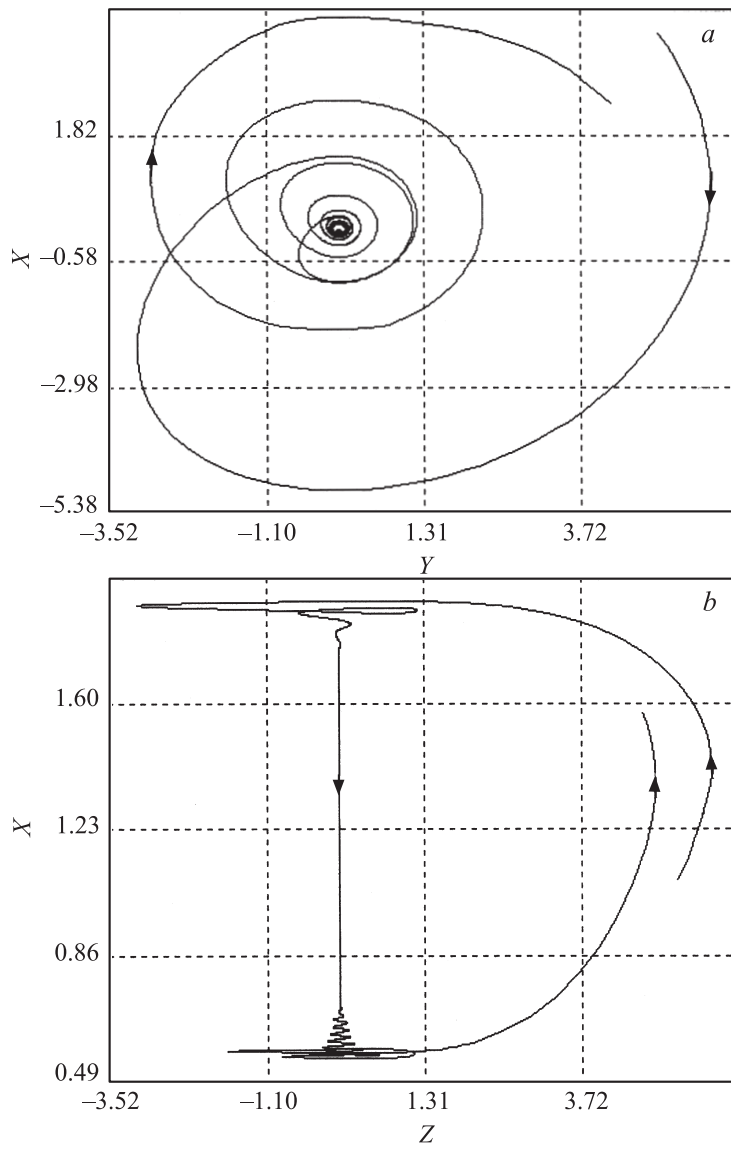
Рис. 2.

квадратов значения коэффициентов выборочной линейной корреляции для соотношения

$$Q = A + \gamma\Theta, \quad (3)$$

где  $Q = \ln(g_k - g_n)$ ,  $\Theta = \ln n$ ,  $A$  и  $\gamma$  — константы, подтверждают статистическую значимость результатов. Оценка для последовательности кратности устойчивых циклов  $n$  и ряда значений параметра инерционности  $g_n$  позволяет сделать вывод о существовании закона сходимости с константой  $\gamma = -3.75 \pm 0.17$ . Существование закона подобия (2) позволяет рассчитать точку сгущения последовательности  $g_n$ , соответствующую для приведенных значений параметров значению  $g_c = 0.008 \pm 0.001$ .

Механизм перехода к хаотическим колебаниям иллюстрируют фрагменты проекций странного аттрактора в фазовом пространстве системы на плоскости  $(X, Y)$  и  $(X, Z)$ , полученные для значения  $g < g_c$  и представленные на рис. 3,  $a$  и  $b$  соответственно. Стрелками обозначено движение изображающей точки в фазовом пространстве системы. Анализ рис. 3 показывает, что вид аттрактора в фазовом пространстве системы определяется двойной петлей седло — фокус с переходящим характерным движением вдоль седловой сепаратрисы. В фазовом пространстве системы реализуется двойной аттрактор Шильникова [6],

**Рис. 3.**

состоящий из устойчивого фокусного и неустойчивого седлового и неустойчивого фокусного и устойчивого седлового движения.

Проведенный анализ свидетельствует о том, что глобальной хаотизации колебаний в исследуемой системе предшествует последовательность бифуркаций по закону натурального ряда, при этом устойчивые движения системы перемежаются зонами хаотических движений. Последовательность бифуркационных значений параметра инерционности подчиняется закону подобия. Механизм хаотизации колебаний связан с потерей устойчивости системы вблизи двойной петли седло — фокуса.

Работа выполнена при частичной финансовой поддержке Российского фонда фундаментальных исследований (проекты № 01-02-17529 и 01-07-90349).

## Список литературы

- [1] *Анищенко В.С., Астахов В.В., Летчфорд Т.Е.* // ЖТФ. 1983. Т. 53. В. 1. С. 152–154.
- [2] *Анищенко В.С.* // Письма в ЖТФ. 1984. Т. 10. В. 10. С. 629–633.
- [3] *Максимов Н.А., Кислов В.Я.* // Письма в ЖТФ. 1983. Т. 9. В. 16. С. 979–982.
- [4] *Неймарк Ю.И., Ланда П.С.* Стохастические и хаотические колебания. М.: Наука, 1987. 424 с.
- [5] *Дмитриев А.С., Кислов В.Я.* Стохастические колебания в радиофизике и электронике. М.: Наука, 1989. 280 с.
- [6] *Шильников Л.П.* // Проблемы нелинейных и турбулентных процессов в физике. Киев: Наук. думка, 1985. С. 118–124.